

# Determining 4-edge-connected components in linear time

Mateusz Pach, Michał Wronka

Wojciech Nadara, Mateusz Radecki, Marcin Smulewicz, Marek Sokołowski  
Uniwersytet Warszawski

4 listopada 2021

## $k$ -spójność krawędziowa

Dla  $k > 1$  graf jest  $k$ -spójny krawędziowo jeśli pozostaje spójny po usunięciu z niego dowolnego zbioru co najwyżej  $k - 1$  krawędzi.

## $k$ -spójność krawędziowa

Dla  $k > 1$  graf jest  $k$ -spójny krawędziowo jeśli pozostaje spójny po usunięciu z niego dowolnego zbioru co najwyżej  $k - 1$  krawędzi.

## $k$ -osiągalność krawędziowa

Dla  $k > 1$  oraz pary wierzchołków  $u, v$  grafu  $G$  mówimy, że  $u$  jest  $k$ -osiągalny krawędziowo z  $v$  jeśli po usunięciu z  $G$  dowolnego zbioru co najwyżej  $k - 1$  krawędzi wierzchołki  $u$  i  $v$  pozostają w tej samej spójnej składowej.

# Wprowadzenie

## $k$ -spójność krawędziowa

Dla  $k > 1$  graf jest  *$k$ -spójny krawędziowo* jeśli pozostaje spójny po usunięciu z niego dowolnego zbioru co najwyżej  $k - 1$  krawędzi.

## $k$ -osiągalność krawędziowa

Dla  $k > 1$  oraz pary wierzchołków  $u, v$  grafu  $G$  mówimy, że  $u$  jest  *$k$ -osiągalny krawędziowo z  $v$*  jeśli po usunięciu z  $G$  dowolnego zbioru co najwyżej  $k - 1$  krawędzi wierzchołki  $u$  i  $v$  pozostają w tej samej spójnej składowej.

## $k$ -spójna krawędziowo składowa

*$K$ -spójna krawędziowo składowa* to element klasy równoważności na relacji  $k$ -osiągalności krawędziowej.

# Dotychczasowe wyniki

- $k = 1 \rightarrow \text{dfs}$

# Dotychczasowe wyniki

- $k = 1 \rightarrow \text{dfs}$
- $k = 2 \rightarrow \text{funkcja low (Hopcroft i Tarjan)}$

- $k = 1 \rightarrow \text{dfs}$
- $k = 2 \rightarrow \text{funkcja low (Hopcroft i Tarjan)}$
- $k = 3 \rightarrow \text{3-spójność wierzchołkowa (Hopcroft i Tarjan)}$   
redukcja  $k$ -spójności krawędziowej do wierzchołkowej (Galil i Italiano)



- $k = 1 \rightarrow$  dfs
- $k = 2 \rightarrow$  funkcja low (Hopcroft i Tarjan)
- $k = 3 \rightarrow$  3-spójność wierzchołkowa (Hopcroft i Tarjan)  
redukcja  $k$ -spójności krawędziowej do wierzchołkowej (Galil i Italiano)
- $k = 4 \rightarrow$  utrzymywanie spójnych w grafach inkrementacyjnych  
 $O(m + n\alpha(n))$  (Kanevsky et al.)  
 $O(q + m + n\log n)$  (Dinitz i Westbrook)

- $k = 1 \rightarrow \text{dfs}$
- $k = 2 \rightarrow \text{funkcja low (Hopcroft i Tarjan)}$
- $k = 3 \rightarrow 3\text{-spójność wierzchołkowa (Hopcroft i Tarjan)}$   
redukcja  $k$ -spójności krawędziowej do wierzchołkowej (Galil i Italiano)
- $k = 4 \rightarrow \text{utrzymywanie spójnych w grafach inkrementacyjnych}$   
 $O(m + n\alpha(n))$  (Kanevsky et al.)  
 $O(q + m + n\log n)$  (Dinitz i Westbrook)
- $k \geq 5 \rightarrow O(q + m + k^2 n \log(n/k))$  (Dinitz i Westbrook)

Deterministyczny algorytm znajdujący 4-spójne krawędziowo składowe w czasie liniowym.

# Plan

- Redukcja do problemu znalezienia 4-spójnych w grafie 3-spójnym krawędziowo.

- Redukcja do problemu znalezienia 4-spójnych w grafie 3-spójnym krawędziowo.
- Dodatkowa struktura danych i algorytm z twierdzenia 4.3.

- Redukcja do problemu znalezienia 4-spójnych w grafie 3-spójnym krawędziowo.
- Dodatkowa struktura danych i algorytm z twierdzenia 4.3.
- Randomizowane znajdowanie 3-cięć w grafie 3-spójnym.

- Redukcja do problemu znalezienia 4-spójnych w grafie 3-spójnym krawędziowo.
- Dodatkowa struktura danych i algorytm z twierdzenia 4.3.
- Randomizowane znajdowanie 3-cięć w grafie 3-spójnym.
- Deterministyczne znajdowanie 3-cięć w grafie 3-spójnym.



- Redukcja do problemu znalezienia 4-spójnych w grafie 3-spójnym krawędziowo.
- Dodatkowa struktura danych i algorytm z twierdzenia 4.3.
- Randomizowane znajdowanie 3-cięć w grafie 3-spójnym.
- Deterministyczne znajdowanie 3-cięć w grafie 3-spójnym.
- Rekonstrukcja 4-spójnych na podstawie 3-cięć.

# Definicje

$\mathcal{T}(G, u)$

drzewo przeszukiwania DFS grafu  $G$  ukorzenione w  $u$

# Definicje

$\mathcal{T}(G, u)$

drzewo przeszukiwania DFS grafu  $G$  ukorzenione w  $u$

krawędź drzewowa

krawędź  $G$  należąca do drzewa  $\mathcal{T}$ , narzucamy jej umowne skierowanie "w dół" (od korzenia)

# Definicje

$\mathcal{T}(G, u)$

drzewo przeszukiwania DFS grafu  $G$  ukorzenione w  $u$

krawędź drzewowa

krawędź  $G$  należąca do drzewa  $\mathcal{T}$ , narzucamy jej umowne skierowanie "w dół" (od korzenia)

$\mathcal{T}_e$

poddrzewo  $\mathcal{T}$  ukorzenione w "głowie" (patrzac na umowne skierowanie)  
krawędzi  $e \in E(\mathcal{T})$ , analogicznie  $\mathcal{T}_v : v \in V(\mathcal{T})$

# Definicje

$\mathcal{T}(G, u)$

drzewo przeszukiwania DFS grafu  $G$  ukorzenione w  $u$

krawędź drzewowa

krawędź  $G$  należąca do drzewa  $\mathcal{T}$ , narzucamy jej umowne skierowanie "w dół" (od korzenia)

$\mathcal{T}_e$

poddrzewo  $\mathcal{T}$  ukorzenione w "głowie" (patrzac na umowne skierowanie) krawędzi  $e \in E(\mathcal{T})$ , analogicznie  $\mathcal{T}_v : v \in V(\mathcal{T})$

krawędź wsteczna

krawędź  $G$  nie będąca drzewową, narzucamy jej umowne skierowanie "w górę" (do korzenia)

głowa/ogon krawędzi

wierzchołek będący końcem/początkiem krawędzi w powyżej przyjętym skierowaniu

głowa/ogon krawędzi

wierzchołek będący końcem/początkiem krawędzi w powyżej przyjętym skierowaniu

cykl fundamentalny  $C_e$

dla  $e \in E(G)$  będącej krawędzią wsteczną, łączącą wierzchołki  $u, v$  jest to cykl zbudowany z ścieżki pomiędzy  $u$  i  $v$  w  $\mathcal{T}$  i  $e$

# Definicje

głowa/ogon krawędzi

wierzchołek będący końcem/początkiem krawędzi w powyżej przyjętym skierowaniu

cykl fundamentalny  $C_e$

dla  $e \in E(G)$  będącej krawędzią wsteczną, łączącą wierzchołki  $u, v$  jest to cykl zbudowany z ścieżki pomiędzy  $u$  i  $v$  w  $\mathcal{T}$  i  $e$

$\leq_{\mathcal{T}}$

porządek częściowy na drzewie,  $u, v \in V(\mathcal{T})$ , gdzie  $u \leq_{\mathcal{T}} v \iff u$  leży na ścieżce do  $v$  z korzenia  $\mathcal{T}$ . Analogicznie dla krawędzi drzewowych, porównując ich "głowy".



krawędź przeskakująca

krawędź  $f = pq$  przeskakuje wierzchołek  $v$  jeśli  $p \in \mathcal{T}_v \wedge q \notin \mathcal{T}_v$ ,  
analogicznie definiujemy przeskakiwanie nad krawędzią

# Definicje

## krawędź przeskakująca

krawędź  $f = pq$  przeskakuje wierzchołek  $v$  jeśli  $p \in \mathcal{T}_v \wedge q \notin \mathcal{T}_v$ ,  
analogicznie definiujemy przeskakiwanie nad krawędzią

## $low()$

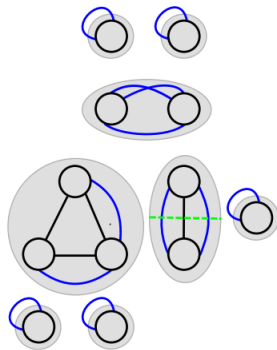
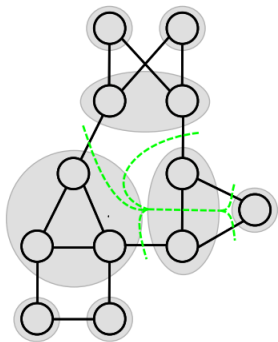
funkcja  $low()$  zdefiniowana przez Tarjana, ale dla naszych potrzeb zdefiniujemy  $low(e)$  jako krawędź przeskakującą  $e$  minimalizującą preorder swojej głowy.  $low(e) = \perp$  jeśli takowa nie istnieje.

## Twierdzenie 1

Dla podanej 2-spójnej grafu  $G$ , istnieje graf  $H = (U, F)$ , że:

- każda krawędź  $e \in F$  leży na dokładnie 1 cyklu  $H$
- $U$  jest rodziną wszystkich 3-spójnych w  $G$
- istnieje bijekcja  $\Phi : E' \rightarrow F$ , że  $E' \subset E$  jest zbiorem wszystkich krawędzi należących do pewnego 2-cięcia  $G$ , że  $\forall e = uv \in E'$  jej obraz  $\Phi(e)$  jest krawędzią w  $H$  łączące pewną 3-spójną zawierającą  $u$  i 3-spójną zawierającą  $v$
- para krawędzi  $e, f \in E'$  tworzy 2-cięcie  $\iff \Phi(e)$  i  $\Phi(f)$  leżą na tym samym cyklu  $H$ .

# Redukcja



## Lemat 1.

Graf  $S$  ma następujące właściwości:

- jest 3-spójny
- dla każdego 3-cięcia  $c$  w  $G$  dzielącego  $X$  na niepuste części istnieje 3-cięcie  $c'$  w  $S$ , dzielące  $X$  w ten sam sposób
- dla każdego 3-cięcia  $c'$  w  $S$  istnieje niepusty zbiór 3-cięć w  $G$ , każde dzielące  $X$  w ten sam sposób co  $c'$

### Twierdzenie 2.

Istnieje struktura danych dla problemu łączenia zbiorów rozłącznych, która zainicjalizowana nieskierowanym drzewem  $\mathcal{T}$  ("union tree") o  $n$  wierzchołkach, tworzy  $n$  singletonów. Po inicjalizacji struktura ta obsługuje następujące operacje w dowolnej kolejności:

- $\text{find}(x)$ : zwraca indeks zbioru zawierającego  $x$ ,
- $\text{union}(x, y)$ : jeśli  $x$  i  $y$  są w różnych zbiorach to któryś z nich jest zastąpiony ich sumą, podczas gdy ten drugi jest zastąpiony zbiorem pustym. Operacja ta jest dozwolona tylko jeśli  $xy$  jest krawędzią  $\mathcal{T}$ .

Struktura obsługuje dowolny ciąg  $q$  operacji w łącznym czasie  $O(n + q)$ .

## Dodatkowa struktura danych i algorytm z twierdzenia 4.3.

### Lemat 2.

Strukturę z poprzedniego twierdzenia można wzbogacić tak, aby po ukorzenieniu  $\mathcal{T}$  w dowolnym wierzchołku być w stanie obsłużyć poniższą operację w czasie stałym:

- $\text{lowest}(x)$ : zwraca najmniejszy w sensie  $\leq_{\mathcal{T}}$  wierzchołek z  $S$ , gdzie  $S$  to zbiór zawierający  $x$ .

## Twierdzenie 3.

Istnieje deterministyczny algorytm przyjmujący jako wejście:

- nieskierowane, nieukorzenione  $n$ -wierzchołkowe drzewo  $\mathcal{T}$ ,
- $p$  ważonych ścieżek  $P_1, P_2, \dots, P_p$  w drzewie  $\mathcal{T}$ , gdzie ścieżka  $P_i$  ( $1 \leq i \leq p$ ) jest najkrótszą ścieżką pomiędzy wierzchołkami  $u_i, v_i$  o wadze  $w_i \in \{0, 1, \dots, C\}$ ,
- i dodatnią liczbę całkowitą  $k$ ,

i dla każdej krawędzi  $e$  zwraca indeksy  $k$  najbliższych ścieżek zawierających  $e$ , remisy rozstrzygając dowolnie; jeśli  $e$  występuje w mniej niż  $k$  ścieżkach, wszystkie takie ścieżki zostają zwrócone. Złożoność czasowa tego algorytmu wynosi  $O(nk + p + C)$ .



## funkcja haszująca

Funkcja  $H : E \rightarrow \mathcal{P}(E)$  taka, że:

$$H(e) = \begin{cases} \{e\}, e \notin \mathcal{T} \\ \text{zbiór krawędzi niedrzewowych przeskakujących } e, e \in \mathcal{T} \end{cases}$$

## funkcja haszująca

Funkcja  $H : E \rightarrow \mathcal{P}(E)$  taka, że:

$$H(e) = \begin{cases} \{e\}, e \notin \mathcal{T} \\ \text{zbiór krawędzi niedrzewowych przeskakujących } e, e \in \mathcal{T} \end{cases}$$

## Lemat 3.

Niech  $G = (V, E)$  to spójny graf, a  $A$  to podzbiór jego krawędzi. Graf  $G' := G - A$  jest niespójny wtw. istnieje niepusty podzbiór  $B \subseteq A$  taki, że xor haszy krawędzi w  $B$  jest zbiorem pustym.

## funkcja haszująca

Funkcja  $H : E \rightarrow \mathcal{P}(E)$  taka, że:

$$H(e) = \begin{cases} \{e\}, e \notin \mathcal{T} \\ \text{zbiór krawędzi niedrzewowych przeskakujących } e, e \in \mathcal{T} \end{cases}$$

## Lemat 3.

Niech  $G = (V, E)$  to spójny graf, a  $A$  to podzbiór jego krawędzi. Graf  $G' := G - A$  jest niespójny wtw. istnieje niepusty podzbiór  $B \subseteq A$  taki, że xor haszy krawędzi w  $B$  jest zbiorem pustym.

## Lemat 4.

Mając dwie krawędzie  $e$  i  $f$  należące do pewnego 3-cięcia w 3-spójnym grafie, pozostałą krawędź 3-cięcia wyznaczamy jednoznacznie po jej haszu:  $H(e) \oplus H(f)$ .

## MaxDn()

Używamy struktury z TW 3. inicjalizując

$k = 1, C = 2n, \{P_e | e \text{ jest krawędzią wsteczną w } \mathcal{T}\}$  gdzie dla  $P_e$  i  $e = (x, y), y \leq_{\mathcal{T}} x$  waga  $w_e = 2n - \text{preorder}(x)$ .

Inaczej jest to krawędź przeskakująca  $e$  z ogonem o maksymalnym preorderze.

## MinDn()

Używamy struktury z TW 3. inicjalizując

$k = 1, C = 2n, \{P_e | e \text{ jest krawędzią wsteczną w } \mathcal{T}\}$  gdzie dla  $P_e$  i  $e = (x, y), y \leq_{\mathcal{T}} x$  waga  $w_e = \text{preorder}(x)$ .

Inaczej jest to krawędź przeskakująca  $e$  z ogonem o minimalnym preorderze.

## MaxUp()

Używamy struktury z TW 3. inicjalizując

$k = 1$ ,  $C = 2n$ ,  $\{P_e | e \text{ jest krawędzią wsteczną w } \mathcal{T}\}$  gdzie dla  $P_e$  i  $e = (x, y)$ ,  $y \leq_{\mathcal{T}} x$  waga  $w_e = 2n - \text{preorder}(y)$ .

Inaczej jest to krawędź przeskakująca  $e$  z głową o maksymalnym preorderze.

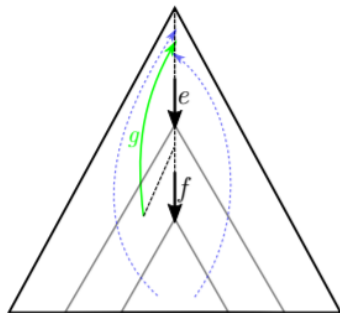
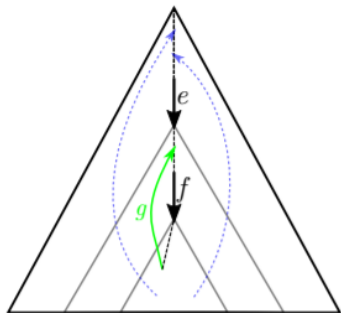
Analogicznie do  $\text{MaxUp}()$ ,  $\text{MinDn}()$ ,  $\text{MaxDn}()$  definiujemy  $\text{MaxUp1}()$ ,  $\text{MinDn1}()$ ,  $\text{MaxDn1}()$ ,  $\text{MaxUp2}()$ ,  $\text{MinDn2}()$ ,  $\text{MaxDn2}()$ .

Podobnie definiujemy  $\text{low1}()$ ,  $\text{low2}()$ ,  $\text{low3}()$ , jako 3 krawędzie przeskakujące pewne  $e \in \mathcal{T}$  o najmniejszych wartościach preorder swoich głów, w kolejności rosnącej.

# Algorytm deterministyczny – 1 krawędź drzewowa

Zestaw  $\{e, low1(e), low2(e)\}$  jest 3-cięciem  $G \iff low3(e) = \perp$

# Algorytm deterministyczny – 2 krawędzie drzewowe



## Lemat 5.

Jeśli  $e, f \in \mathcal{T}$  należą do 3-cięcia, to są porównywalne względem  $\leq_{\mathcal{T}}$

# Algorytm deterministyczny – 2 krawędzie drzewowe

*lower case*

DeepestDnCut( $e$ ):  $e \in E(\mathcal{T})$

Najgłębsza  $f \in E(\mathcal{T})$ , że wszystkie krawędzie przeskakujące  $e$  mają ogony w  $\mathcal{T}_f$ . Jest poprawnie zdefiniowana, bo jej głowa jest LCA dla rozpatrywanych ogonów.



# Algorytm deterministyczny – 2 krawędzie drzewowe

*lower case*

DeepestDnCut( $e$ ):  $e \in E(\mathcal{T})$

Najgłębsza  $f \in E(\mathcal{T})$ , że wszystkie krawędzie przeskakujące  $e$  mają ogony w  $\mathcal{T}_f$ . Jest poprawnie zdefiniowana, bo jej głowa jest LCA dla rozpatrywanych ogonów.

Lemat 6.

$$\forall_{e \in E(\mathcal{T})} DDC(e) = uv, u \leq_{\mathcal{T}} v \text{ to } v = LCA(\text{MinDn1}(e), \text{MaxDn1}(e))$$

# Algorytm deterministyczny – 2 krawędzie drzewowe

*lower case*

DeepestDnCut( $e$ ):  $e \in E(\mathcal{T})$

Najgłębsza  $f \in E(\mathcal{T})$ , że wszystkie krawędzie przeskakujące  $e$  mają ogony w  $\mathcal{T}_f$ . Jest poprawnie zdefiniowana, bo jej głowa jest LCA dla rozpatrywanych ogonów.

Lemat 6.

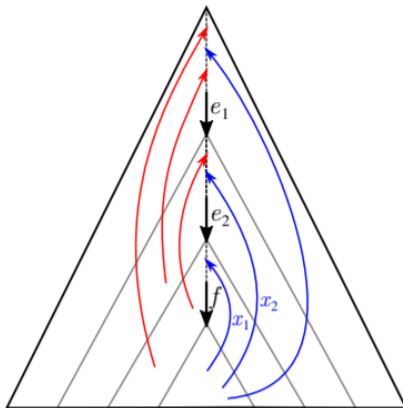
$$\forall_{e \in E(\mathcal{T})} DDC(e) = uv, u \leq_{\mathcal{T}} v \text{ to } v = LCA(\text{MinDn1}(e), \text{MaxDn1}(e))$$

Lemat 7.

Jeśli  $\{e, f, g\}$  to 3-cięcie i  $e, f \in \mathcal{T}, f >_{\mathcal{T}} e$  to  $e$  jest najgłębszą krawędzią spełniającą  $DDC(e) \geq_{\mathcal{T}} f$

# Algorytm deterministyczny – 2 krawędzie drzewowe

*lower case*



# Algorytm deterministyczny – 2 krawędzie drzewowe

*upper case*

Niech  $g$  ma ogon  $v$ , zauważmy, że  $\forall u \in V(\mathcal{T}_f)$   $preorder(v) < preorder(u)$ ,  
albo  $\forall u \in V(\mathcal{T}_f)$   $preorder(v) > preorder(u)$ .

# Algorytm deterministyczny – 2 krawędzie drzewowe

*upper case*

Niech  $g$  ma ogon  $v$ , zauważmy, że  $\forall u \in V(\mathcal{T}_f)$   $preorder(v) < preorder(u)$ , albo  $\forall u \in V(\mathcal{T}_f)$   $preorder(v) > preorder(u)$ .

## DeepsetDnCutNoMin( $e$ )

najgłębsza krawędź  $f \in \mathcal{T}$ , że wszystkie krawędzie przeskakujące  $e$ , poza  $g = MinDn1(e)$  mają ogon w  $\mathcal{T}_f$ .

# Algorytm deterministyczny – 2 krawędzie drzewowe

*upper case*

Niech  $g$  ma ogon  $v$ , zauważmy, że  $\forall u \in V(\mathcal{T}_f)$   $preorder(v) < preorder(u)$ , albo  $\forall u \in V(\mathcal{T}_f)$   $preorder(v) > preorder(u)$ .

## DeepsetDnCutNoMin(e)

najgłębsza krawędź  $f \in \mathcal{T}$ , że wszystkie krawędzie przeskakujące  $e$ , poza  $g = MinDn1(e)$  mają ogon w  $\mathcal{T}_f$ .

Analogicznie do lematu 6.  $DDCNM(e) = LCA(MinDn2(e), MaxDn1(e))$  (symetrycznie gdy  $g = MaxDn1(e)$ ).

Podobnie dla  $f_0 = DDCNM(e)$  jeśli pewne  $f > e$  jest w 3-cięciu  $\{e, f, g\}$  to  $f \leq f_0$

# Algorytm deterministyczny – 2 krawędzie drzewowe

*upper case*

Lemat 8.

$\{f_i, g, e\}$  jest 3-cięciem wtw  $MaxUp1(f_i) = h_i <_{\mathcal{T}} e$ . Jeśli nie jest, to  $f_{i+1} \in \mathcal{T}$  takie, że  $head(h_i) = head(f_{i+1})$  będzie nowym lepszym kandydatem.

$$f_0 = DDCNM(e)$$

# Algorytm deterministyczny – 2 krawędzie drzewowe

## *upper case*

### Lemat 8.

$\{f_i, g, e\}$  jest 3-cięciem wtw  $MaxUp1(f_i) = h_i <_{\mathcal{T}} e$ . Jeśli nie jest, to  $f_{i+1} \in \mathcal{T}$  takie, że  $head(h_i) = head(f_{i+1})$  będzie nowym lepszym kandydatem.

$$f_0 = DDCNM(e)$$

### Drzewo $U$

Drzewo ukorzenione w  $\perp$ , że  $V(U) = E(\mathcal{T}) \cup \{\perp\}$  w którym będzie zachodzić, że dla  $\perp \neq e \in V(U)$  jego rodzicem będzie krawędź z  $\mathcal{T}$  o tej samej głowie co  $MaxUp1(e)$  w  $G$ , a jeśli głowa byłaby korzeniem, to rodzic  $e$  w  $U$  to  $\perp$ .  $U$  można zbudować w czasie linowym.

Niech  $F_U$  to niepołączona struktura Union z Lematu 3. na drzewie  $U$



# Algorytm deterministyczny – 2 krawędzie drzewowe

*upper case*

---

**Algorithm 3.** Efficient deterministic solution for “two tree edges, upper case”

---

**function** SOLVETWOTREEEDGESUPPER

$\mathcal{U} \leftarrow$  the rooted tree on  $E(\mathcal{T}) \cup \{\perp\}$  defined above

$F_{\mathcal{U}} \leftarrow$  the disjoint set union data structure built on  $\mathcal{U}$  (Lemma 4.2)

**for**  $e \in E(\mathcal{T})$ , in order from the deepest to the shallowest **do**

**for**  $c$  – child of  $e$  in  $\mathcal{U}$  **do**

$F_{\mathcal{U}}.\text{union}(e, c)$

$g \leftarrow \text{MinDn1}(e)$

$f_0 \leftarrow \text{DeepestDnCutNoMin}(e)$

$f' \leftarrow F_{\mathcal{U}}.\text{lowest}(f_0)$

**if**  $f' \neq e$  **then**

        add  $\{e, f', g\}$  to the list of 3-edge-cuts

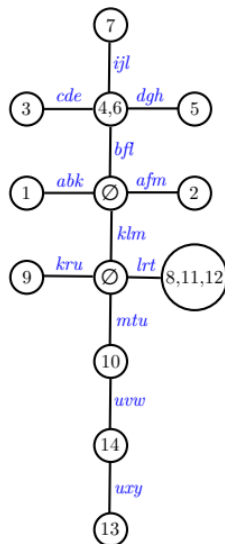
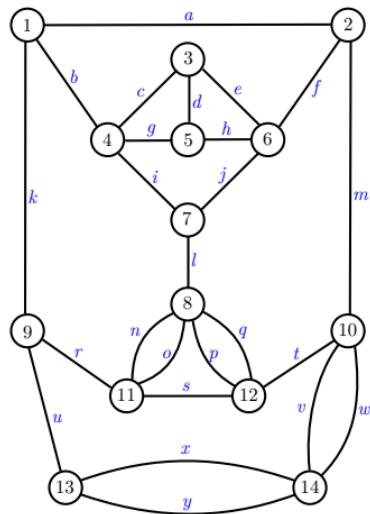
$\triangleright$  Run the analogous algorithm for  $\text{DeepestDnCutNoMax}$  instead of  $\text{DeepestDnCutNoMin}$ .

---

## Twierdzenie 4.

Dla każdego 3-spójnego krawędziowo grafu  $G = (V, E)$ , istnieje drzewo  $H = (U, F)$  wraz z funkcjami  $\phi : C \rightarrow F$  i  $\psi : V \rightarrow U$ , takimi że  $\phi$  jest bijekcją z 3-cięć  $G$  do krawędzi  $H$ , a  $\psi$  mapuje (niekoniecznie surjektywnie) wierzchołki z  $G$  na wierzchołki z  $H$  tak że, całe 4-spójne krawędziowo składowe są zmapowane na ten sam wierzchołek. Ponadto, jeśli 3-cięcie  $c$  dzieli wierzchołki  $G$  na dwa zbiory  $V_1$  i  $V_2$ , to  $\phi(c)$  dzieli wierzchołki  $H$  na dwa zbiory  $U_1$  i  $U_2$  tak, że  $\psi^{-1}(U_1) = V_1$  i  $\psi^{-1}(U_2) = V_2$ .

# Rekonstrukcja 4-spójnych krawędziowo składowych



## Lemat 9.

Istnieje algorytm, który dla grafu  $G$  i listy  $C$  wszystkich 3-cięć w  $G$  konstruuje drzewo  $H$  wraz z funkcjami  $\phi$  i  $\psi$  i działa w czasie liniowym.